

ĆWICZENIE 1

Identyfikacja obiektów dynamicznych

1.1 Cel ćwiczenia

Celem ćwiczenia jest ilustracja częstotliwościowych i czasowych metod identyfikacji obiektów dynamicznych.

1.2 Identyfikowane modele

Badane obiekty dynamiczne modelowane są odpowiednią operatorową transmitancją:

- a) układ inercyjny pierwszego rzędu

$$G(s) = \frac{k_p}{1 + sT_p} \quad (1.1)$$

gdzie k_p jest statycznym wzmocnieniem, T_p oznacza stałą czasową.

- b) układ inercyjny pierwszego rzędu z opóźnieniem transportowym

$$G(s) = \frac{k_p}{1 + sT_p} \cdot e^{-sT_0} \quad (1.2)$$

gdzie k_p jest statycznym wzmocnieniem, T_p oznacza stałą czasową, zaś T_0 reprezentuje opóźnienie transportowe.

- c) układ całkujący

$$G(s) = \frac{1}{sT_i} \quad (1.3)$$

gdzie T_i oznacza stałą całkowania.

- d) układ drugiego rzędu

$$G(s) = \frac{1}{1 + sa_1 + s^2a_2} = \frac{1}{1 + s2\zeta\tau + s^2\tau^2} = \frac{\omega_n^2}{\omega_n^2 + s2\zeta\omega_n + s^2} \quad (1.4)$$

gdzie ζ jest współczynnikiem tłumienia, zaś $\omega_n = 1/\tau$ reprezentuje pulsację naturalną (pulsację drgań nietłumionych).

- e) układ nieminimalnofazowy

$$G(s) = \frac{1 - sT_x}{1 + sT_y} \quad (1.5)$$

gdzie T_x jest stałą czasową zera, zaś T_y reprezentuje stałą czasową bieguna.

Identyfikacji podlegają odpowiednie parametry transmitancji (1.1)-(1.5).

1.2.1 Charakterystyki czasowe i częstotliwościowe obiektu inercyjnego pierwszego rzędu

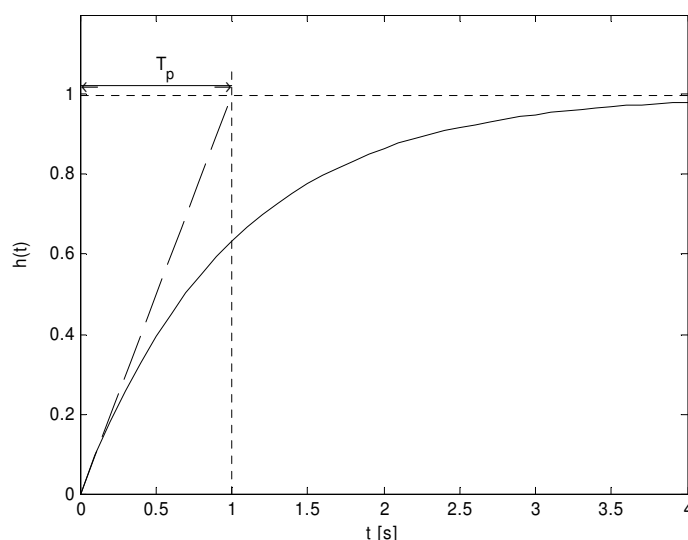
Odpowiedź impulsową obiektu inercyjnego pierwszego rzędu (1.1) opisuje wzór

$$g(t) = L^{-1}[G(s)] = \frac{k_p}{T_p} e^{-t/T_p} \cdot \mathbf{1}(t) \quad (1.6)$$

Odpowiedź skokowa tego członu dana jest wzorem

$$h(t) = L^{-1}[G(s)/s] = k_p(1 - e^{-t/T_p}) \cdot \mathbf{1}(t) \quad (1.7)$$

zaś przykładowy przebieg tej odpowiedzi pokazano na rys. 1.1.



Rys. 1.1. Odpowiedź skokowa członu dynamicznego pierwszego rzędu dla $k_p = 1$ i $T_p = 1s$.

Ze wzoru (1.6) wynika, iż czas ustalania $T_{s\Delta}$ odpowiedzi skokowej (1.7), definiowany jako

$$T_{s\Delta} = \{t: h(t) = k_p(1 - \Delta)\}, \quad 0 < \Delta \leq 1 \quad (1.8)$$

wynosi

$$T_{s\Delta} = -T_p \cdot \ln \Delta \quad (1.9)$$

Zachodzi ponadto

$$h(t)|_{t=T_p} = (1 - e^{-1})k_p \cong 0.6321 \cdot k_p \quad (1.10)$$

$$h(t)|_{t \rightarrow \infty} = k_p \quad (1.11)$$

Widmowa charakterystyka członu pierwszego rzędu (1.1) dana jest wzorem

$$G(s)|_{s=j\omega} = M(\omega)e^{j\phi(\omega)} = \frac{k_p}{\sqrt{1 + \omega^2 T_p^2}} e^{-j \cdot \arctg(\omega T_p)} \quad (1.12)$$

Przykładowy przebieg charakterystyki amplitudowej $M(\omega)$ oraz fazowej $\phi(\omega)$ tego członu pokazano na rys. 1.2. Ze wzoru (1.12) wynika, iż pulsacja trzydecybelowego pasma przenoszenia członu (1.1) wynosi

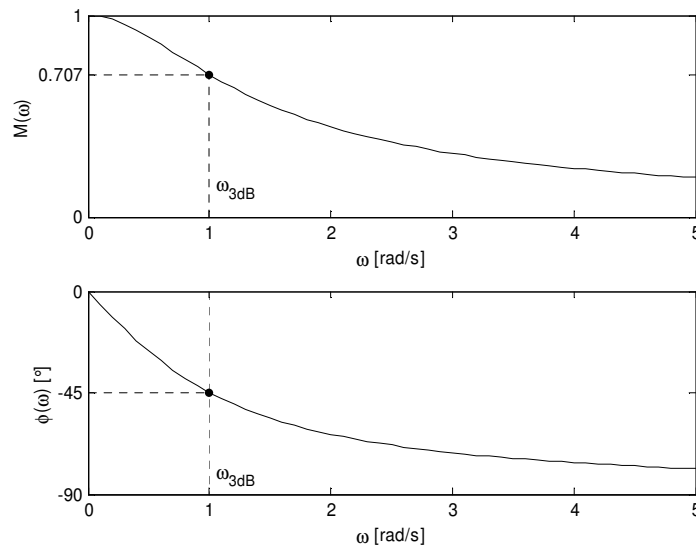
$$\omega_{3dB} = \frac{1}{T_p} \quad (1.13)$$

czemu odpowiadają następujące wartości charakterystyki amplitudowej oraz fazowej tego członu

$$M(\omega)|_{\omega=\omega_{3dB}} = \frac{k_p}{\sqrt{2}} \quad (1.14)$$

$$\phi(\omega)|_{\omega=\omega_{3dB}} = -45^\circ. \quad (1.15)$$

Wzory (1.9)-(1.11) oraz (1.13)-(1.15) mają istotne praktyczne znaczenie, stanowiąc podstawę prostych reguł identyfikacji członu (1.1).



Rys. 1.2. Częstotliwościowe charakterystyki układu pierwszego rzędu dla $k_p = 1$ i $T_p = 1s$.

1.2.2 Charakterystyki czasowe i częstotliwościowe obiektu inercyjnego pierwszego rzędu z opóźnieniem transportowym

Skokowa odpowiedź obiektu opisanego transmitancją (1.2) dana jest wzorem

$$h(t) = L^{-1}[G(s)/s] = k_p(1 - e^{-(t-T_0)/T_p}) \cdot \mathbf{1}(t - T_0). \quad (1.16)$$

Zachodzą przeto następujące związki, które można wykorzystać do identyfikacji rozważanego modelu:

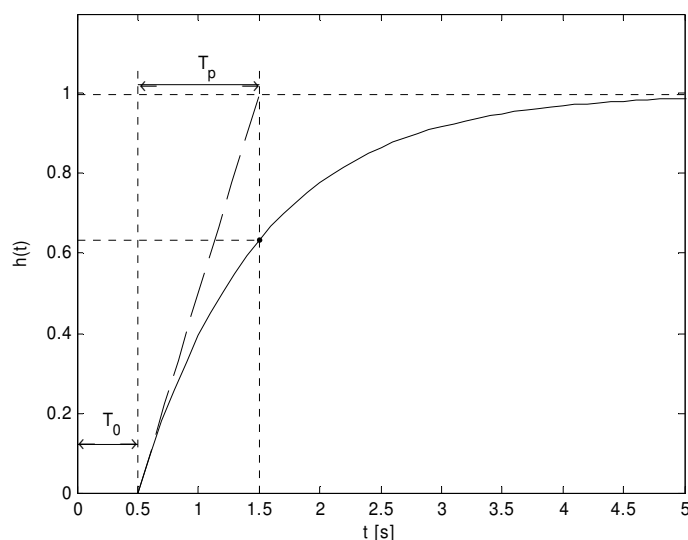
$$h(t) = 0 \quad \text{dla} \quad t \leq T_0 \quad \Rightarrow \quad T_0 = \max\{t : h(t) = 0\}, \quad (1.17)$$

$$\lim_{t \rightarrow \infty} h(t) = k_p, \quad (1.18)$$

$$h(t)|_{t=T_p+T_0} = k_p(1 - e^{-1}) \cong 0.632 \cdot k_p, \quad (1.19)$$

$$\frac{d}{dt} h(t)|_{t=T_0} = \frac{k_p}{T_p}. \quad (1.20)$$

Przebieg przykładowej skokowej odpowiedzi $h(t)$ pokazano na rys. 1.3.



Rys. 1.3. Skokowa odpowiedź układu pierwszego rzędu z opóźnieniem transportowym dla $k_p = 1$, $T_p = 1\text{s}$ oraz $T_0 = 0.5\text{s}$.

Transmitancji (1.2) przyporządkować można charakterystykę amplitudową $M(\omega)$ oraz fazową $\phi(\omega)$:

$$G(s)|_{s=j\omega} = M(\omega) \cdot e^{-j\phi(\omega)} = \frac{k_p}{\sqrt{1 + \omega^2 T_p^2}}, \quad (1.21)$$

$$\phi(\omega) = -\arctg(\omega T_p) - \omega T_0. \quad (1.22)$$

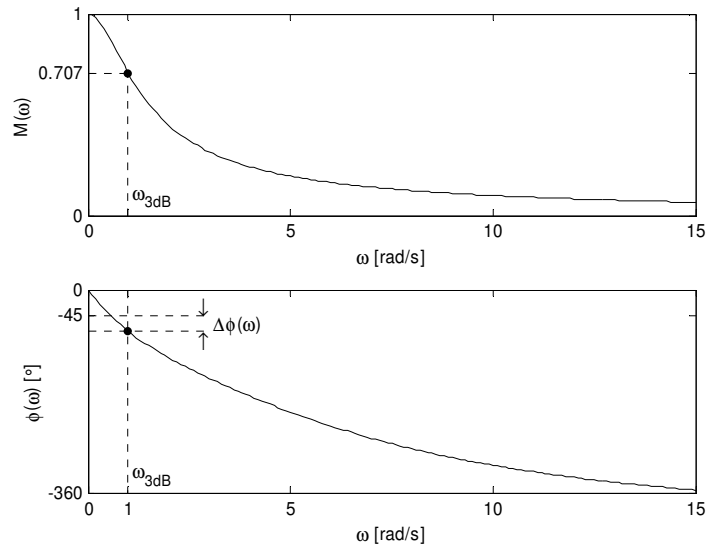
Zachodzą przy tym następujące związki, mogące stanowić podstawę prostych procedur identyfikacji:

$$M(0) = k_p, \quad (1.23)$$

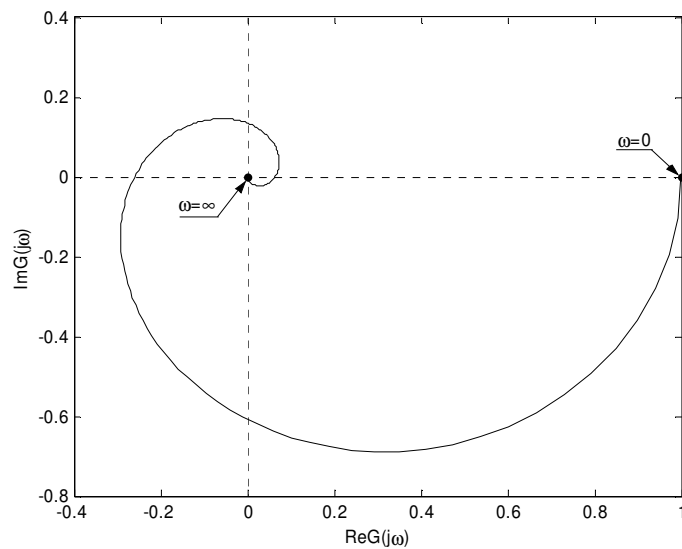
$$M(\omega)|_{\omega=\omega_{3\text{dB}}} = \frac{k_p}{\sqrt{2}}, \quad \omega_{3\text{dB}} = \frac{1}{T_p} \Rightarrow T_p = \frac{1}{\omega_{3\text{dB}}}, \quad (1.24)$$

$$\phi(\omega)|_{\omega=\omega_{3\text{dB}}} = -\frac{\pi}{4} - \frac{T_0}{T_p} \Rightarrow T_0 = -T_p \cdot \left(\phi_2(\omega_{3\text{dB}}) + \frac{\pi}{4} \right). \quad (1.25)$$

Przykładowe charakterystyki $M(\omega)$ oraz $\phi(\omega)$, dla $k_p = 1$, $T_p = 1\text{s}$ oraz $T_0 = 0.5\text{s}$, pokazano na rys. 1.4 oraz rys. 1.5 charakterystykę Nyquista.



Rys. 1.3. Charakterystyki częstotliwościowe identyfikowanego modelu.



Rys.1.4. Charakterystyka Nyquista identyfikowanego modelu

1.2.3 Charakterystyki czasowe i częstotliwościowe obiektu całkującego

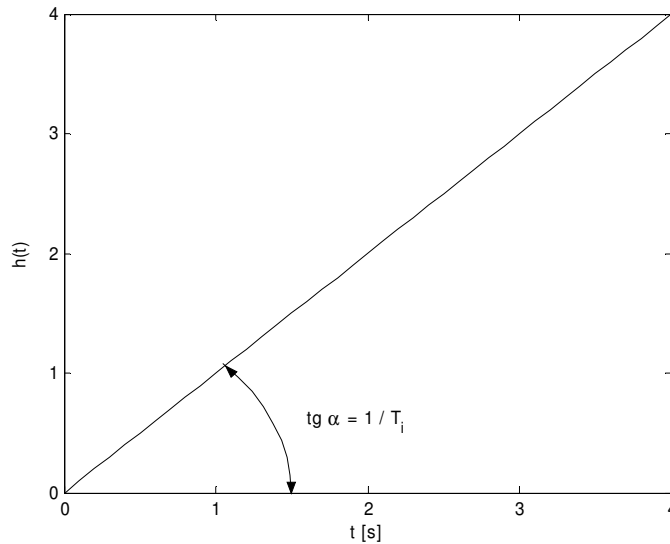
Odpowiedź impulsową obiektu całkującego (1.3) opisuje wzór

$$g(t) = L^{-1}[G(s)] = \frac{1}{T_i} \cdot \mathbf{1}(t). \quad (1.26)$$

Odpowiedź skokowa tego członu dana jest wzorem

$$h(t) = L^{-1}[G(s)/s] = \frac{t}{T_i} \cdot \mathbf{1}(t), \quad (1.27)$$

zaś przykładowy przebieg tej odpowiedzi pokazano na rys. 1.5.



Rys. 1.5. Odpowiedź skokowa członu całkującego dla $T_i = 1s$.

Charakterystyka częstotliwościowa członu całkującego (1.3) dana jest wzorem

$$G(s)\Big|_{s=j\omega} = M(\omega)e^{j\phi(\omega)} = \frac{1}{\omega T_i} e^{-j\frac{\pi}{2}}. \quad (1.28)$$

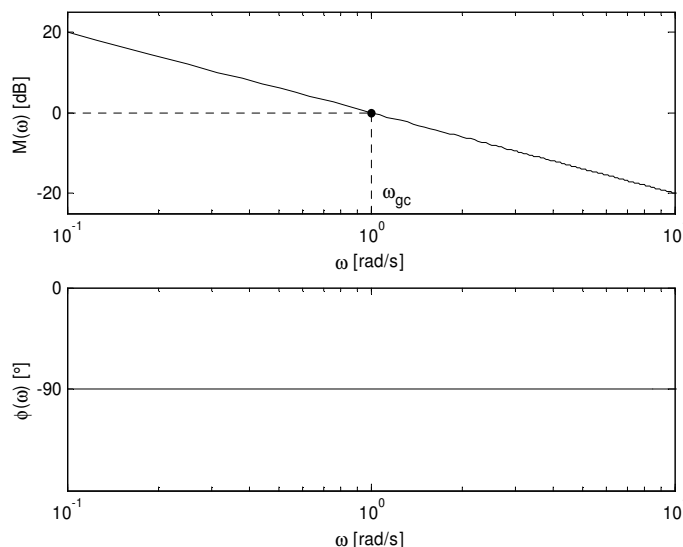
Ze wzoru (1.28) wynika, iż pulsacja odcięcia ω_{gc} członu całkującego (1.3) wynosi

$$\omega_{gc} = \frac{1}{T_i} \quad (1.29)$$

czemu odpowiada następująca wartość charakterystyki amplitudowej tego członu

$$M(\omega)\Big|_{\omega=\omega_{gc}} = 0\text{dB} = 1. \quad (1.30)$$

Przykładowy przebieg charakterystyki amplitudowej $M(\omega)$ oraz fazowej $\phi(\omega)$ tego członu pokazano na rys. 1.6.



Rys. 1.6. Charakterystyki Bodego układu całkującego dla $T_i = 1s$.

1.2.4 Charakterystyki czasowe i częstotliwościowe członu drugiego rzędu

Odpowiedź impulsowa członu drugiego rzędu (1.4) wyraża się wzorem

$$g(t) = L^{-1}[G(s)] = \left[\frac{\omega_n}{\sqrt{1-\zeta^2}} e^{-\zeta\omega_n t} \sin \omega_0 t \right] \cdot \mathbf{1}(t), \quad (1.31)$$

przy czym

$$\omega_0 = \omega_n \sqrt{1-\zeta^2} = \frac{\sqrt{1-\zeta^2}}{\tau} \quad (1.32)$$

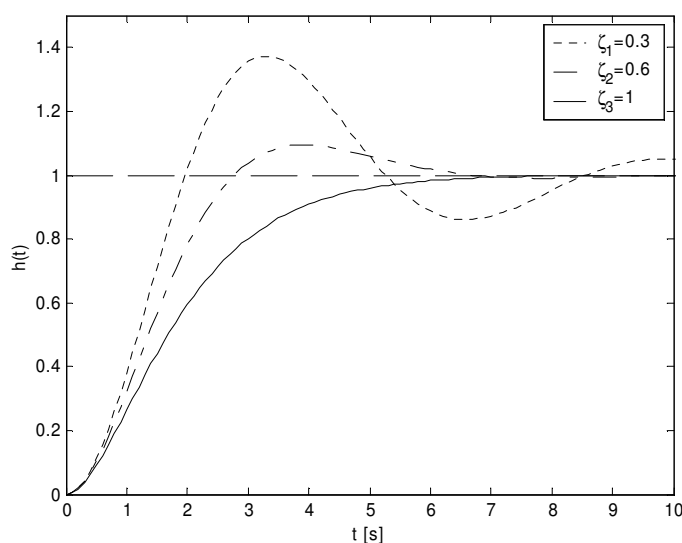
oznacza pulsację drgań tłumionych. Odpowiedź skokową członu (1.4) określa zależność

$$\begin{aligned} h(t) = L^{-1}[G(s)/s] &= \left[1 - \frac{1}{\sqrt{1-\zeta^2}} e^{-\zeta\omega_n t} \sin(\omega_0 t + \alpha) \right] \cdot \mathbf{1}(t) = \\ &= \left[1 - e^{-\zeta\omega_n t} \cos \omega_0 t + \frac{\zeta \sin \omega_0 t}{\sqrt{1-\zeta^2}} \right] \cdot \mathbf{1}(t), \end{aligned} \quad (1.33)$$

gdzie

$$\alpha = \arctg \left(\frac{\sqrt{1-\zeta^2}}{\zeta} \right). \quad (1.34)$$

Przykładowe przebiegi odpowiedzi skokowych dla różnych wartości współczynnika tłumienia ζ pokazano na rys. 1.7.

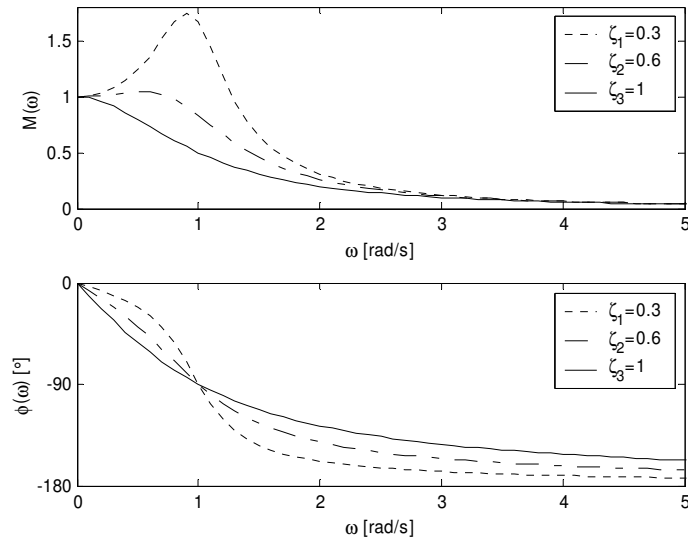


Rys. 1.7. Odpowiedź skokowa członu oscylacyjnego

Widmowa charakterystyka członu drugiego rzędu (1.4) dana jest wzorem

$$G(s) \Big|_{s=j\omega} = M(\omega) e^{j\phi(\omega)} = \frac{\omega_n^2}{\sqrt{(\omega_n^2 - \omega^2)^2 + (2\zeta\omega_n\omega)^2}} e^{-j \cdot \arctg \frac{2\zeta\omega_n\omega}{\omega_n^2 - \omega^2}}, \quad (1.35)$$

zaś przykładowe przebiegi funkcji $M(\omega)$ oraz $\phi(\omega)$ dla różnych wartości współczynnika tłumienia ζ pokazano na rys. 1.8.



Rys. 1.8. Częstotliwościowe charakterystyki członu oscylacyjnego dla $\tau = 1s$.

Dla odpowiedzi skokowej $h(t)$ definiuje się następujące wskaźniki (por. rys. 1.9):

a) przeregulowanie κ

$$\kappa = \frac{h_{\max} - h(\infty)}{h(\infty)} \cdot 100\% \quad (1.36)$$

gdzie

$$h_{\max} = \max_{t \geq 0} h(t) \quad (1.37)$$

b) czas osiągnięcia maksimum T_{κ} (czas piku, czas maksimum)

$$T_{\kappa} = \{t : h(t) = h_{\max}\} \quad (1.38)$$

c) czas ustalania $T_{s\Delta}$ dla strefy kontrolnej o szerokości 2Δ

$$T_{s\Delta} = \arg \max_{t \geq 0} \{t : |h(t) - h(\infty)| = \Delta \cdot h(\infty)\} \quad (1.39)$$

Odpowiednie wskaźniki definiuje się także dla amplitudowej charakterystyki $M(\omega)$ rozważanego członu dynamicznego (por. rys. 1.10):

a) wskaźnik oscylacyjności (szczyt rezonansowy) M_r

$$M_r = \frac{M_{\max}}{M(0)} \quad (1.40)$$

gdzie

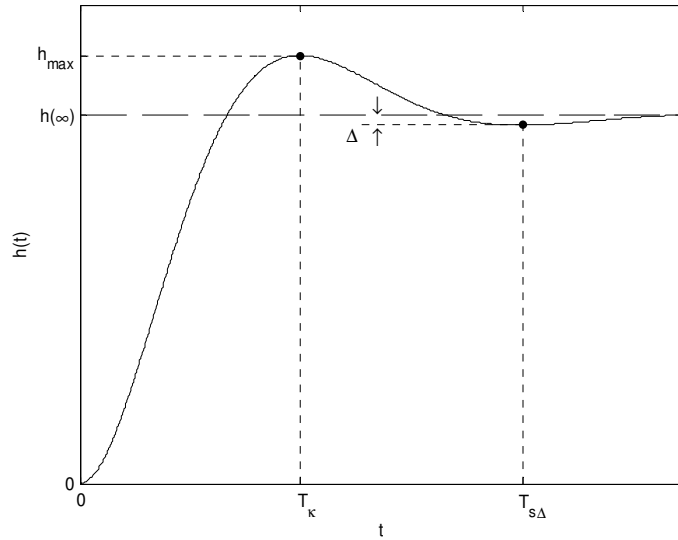
$$M_{\max} = \max_{\omega \geq 0} M(\omega) \quad (1.41)$$

b) pulsacja rezonansowa ω_r

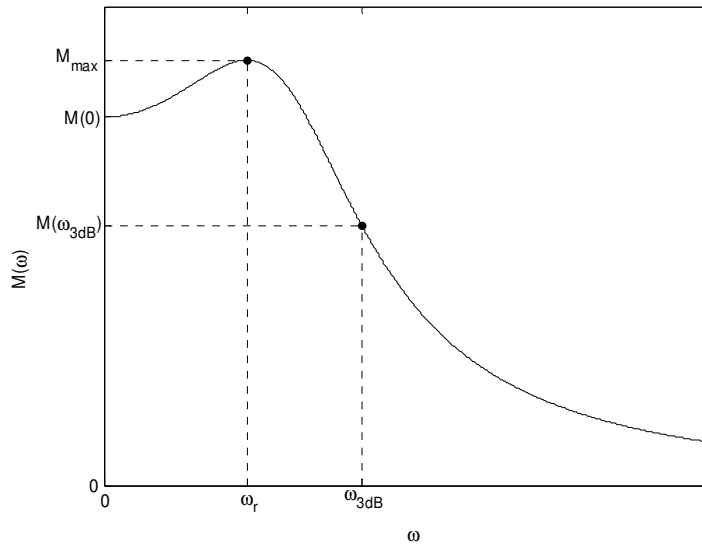
$$\omega_r = \{\omega : M(\omega) = M_{\max}\}, \quad (1.42)$$

c) trzydecybelowe pasmo przenoszenia ω_{3dB}

$$\omega_{3dB} = \{\omega : M(\omega_{3dB}) = M(0) / \sqrt{2}\}. \quad (1.43)$$



Rys. 1.9. Definicja wskaźników dotyczących odpowiedzi skokowej



Rys. 1.10. Definicja wskaźników dotyczących charakterystyki amplitudowej

Przeregulowanie κ oraz czas maksimum T_k wiążą się z parametrami ζ , $0 < \zeta < 1$, oraz τ transmitancji operatorowej (1.4) następującymi wzorami

$$\kappa = \exp\left[\frac{-\zeta\pi}{\sqrt{1-\zeta^2}}\right] \quad (1.42)$$

$$T_k = \frac{\tau\pi}{\sqrt{1-\zeta^2}} \quad (1.43)$$

Czas ustalania $T_{s\Delta}$ jest nieciągłą funkcją współczynnika tłumienia ζ , dla której można podać następującą ciągłą funkcję majoryzującą

$$T_{s\Delta} \leq \bar{T}_{s\Delta} = \frac{\left|\ln\left(\Delta\sqrt{1-\zeta^2}\right)\right|}{\zeta} \cdot \tau, \quad 0 < \zeta < 1 \quad (1.44)$$

Ze wzoru (1.44) wynika, iż dla $\Delta = 0.02$ i $\Delta = 0.05$ oraz dla dostatecznie małych wartości ζ obowiązują oszacowania

$$T_{s2\%} \cong \frac{4\tau}{\zeta} \quad (1.45)$$

$$T_{s5\%} \cong \frac{3\tau}{\zeta} \quad (1.46)$$

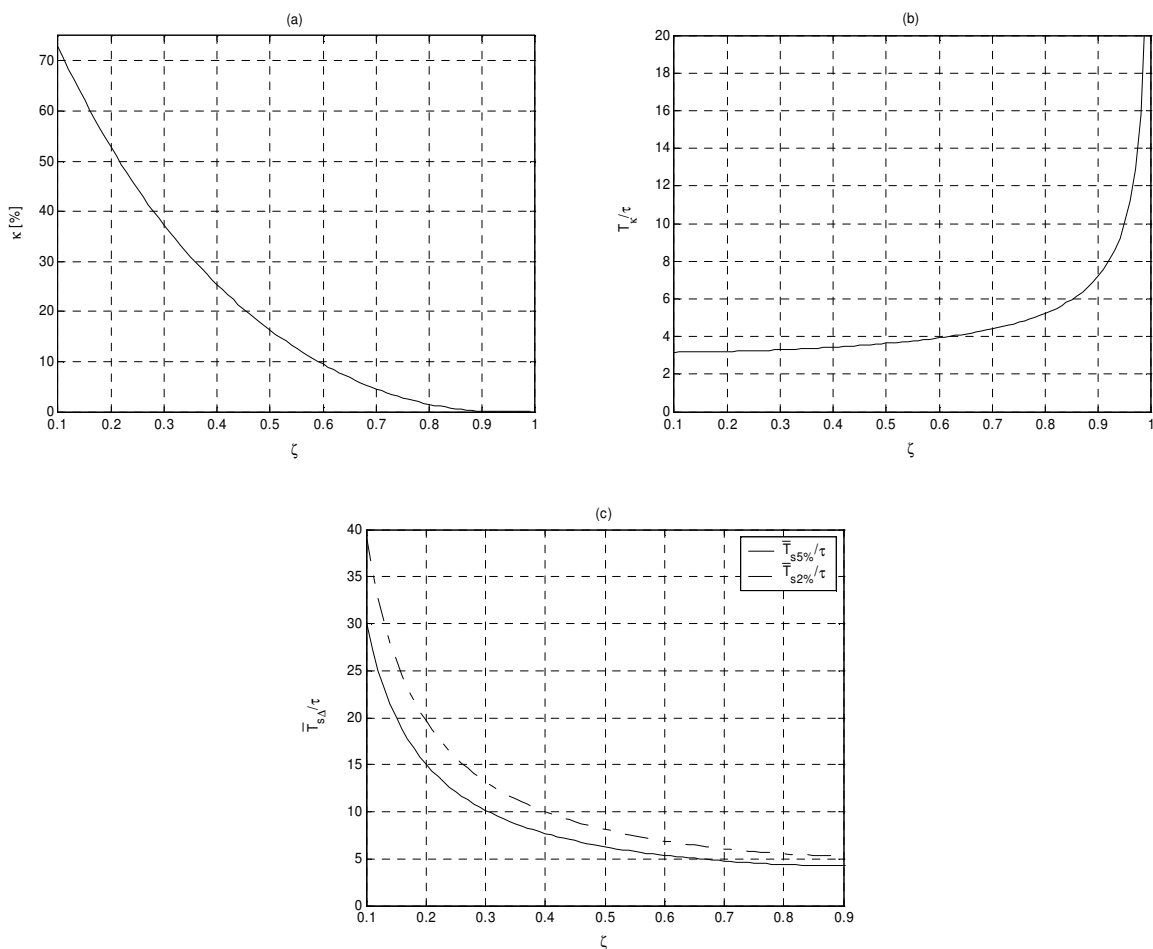
Wskaźniki M_r , ω_r oraz ω_{3dB} opisujące amplitudową charakterystykę $M(\omega)$ członu (1.4) związane są z parametrami ζ oraz τ tego członu następującymi formułami:

$$M_r = \frac{1}{2\zeta\sqrt{1-\zeta^2}}, \quad 0 < \zeta < 1/\sqrt{2} \quad (1.47)$$

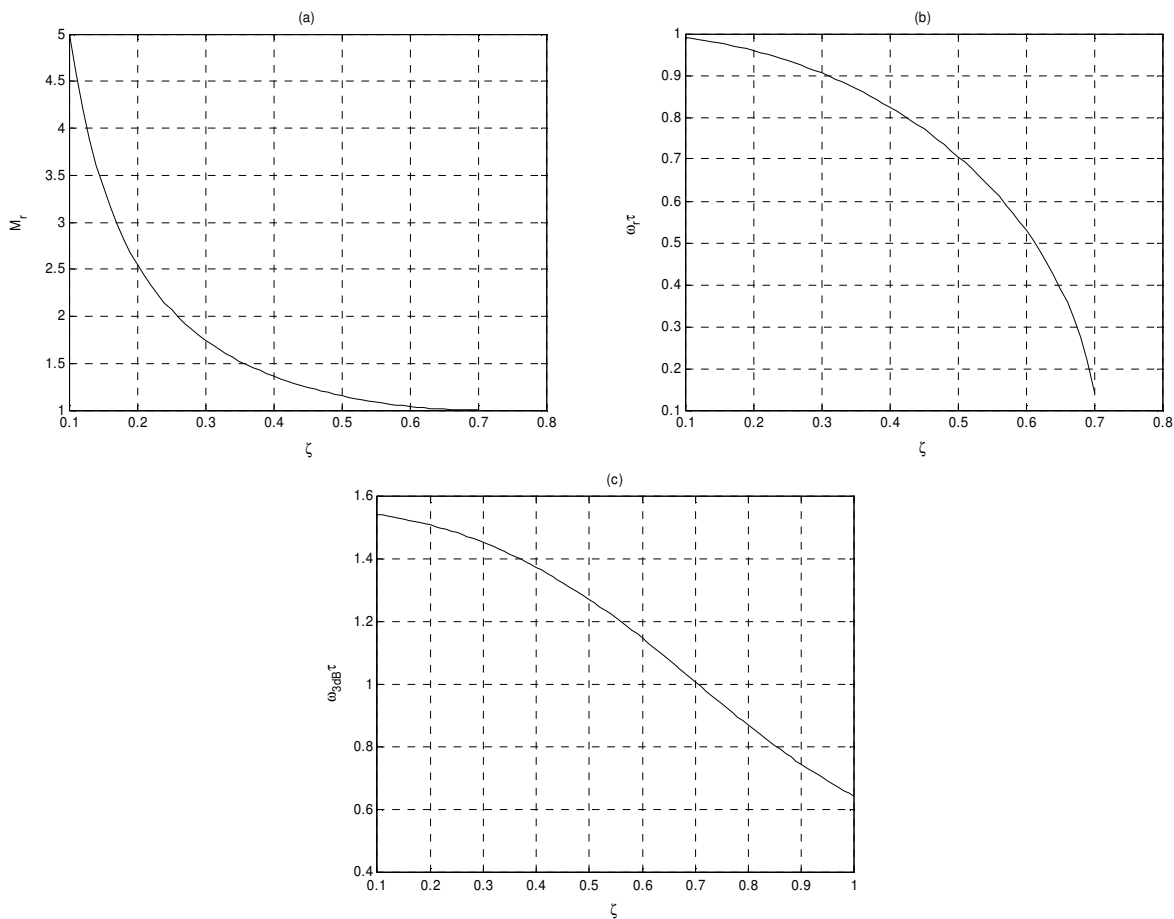
$$\omega_r = \frac{\sqrt{1-2\zeta^2}}{\tau}, \quad 0 < \zeta < 1/\sqrt{2} \quad (1.48)$$

$$\omega_{3dB} = \frac{\sqrt{1-2\zeta^2 + \sqrt{(1-2\zeta^2)^2 + 1}}}{\tau} \quad (1.49)$$

Wykresy rozważanych wskaźników pokazano na rys. 1.11a-c (wskaźniki dotyczące odpowiedzi skokowej) oraz na rys. 1.12a-c (wskaźniki dotyczące charakterystyki amplitudowej).



Rys. 1.11. Wskaźniki dotyczące odpowiedzi skokowej członu oscylacyjnego



Rys. 1.12. Wskaźniki dotyczące charakterystyki amplitudowej członu oscylacyjnego

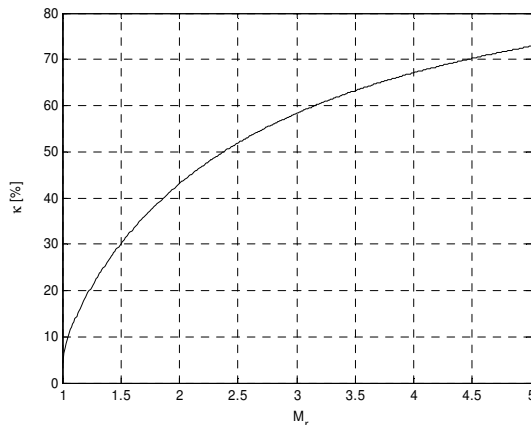
Ze wzoru (1.47) wynika, iż

$$\zeta = \sqrt{\frac{1 - \sqrt{1 - M_r^{-2}}}{2}}, \quad M_r \geq 1 \tag{1.50}$$

Zatem, korzystając ze wzoru (1.42) wyznaczyć można zależność przeregulowania κ odpowiedzi skokowej (1.33) od wskaźnika oscylacyjności M_r . Zachodzi ponadto

$$\zeta = \frac{|\ln \kappa|}{\sqrt{\pi^2 + \ln^2 \kappa}}, \quad \kappa > 0 \tag{1.51}$$

Na podstawie wzoru (1.44) można określić relację wskaźnika oscylacyjności M_r w zależności od przeregulowania, co ilustruje wykres dany na rys. 1.13.

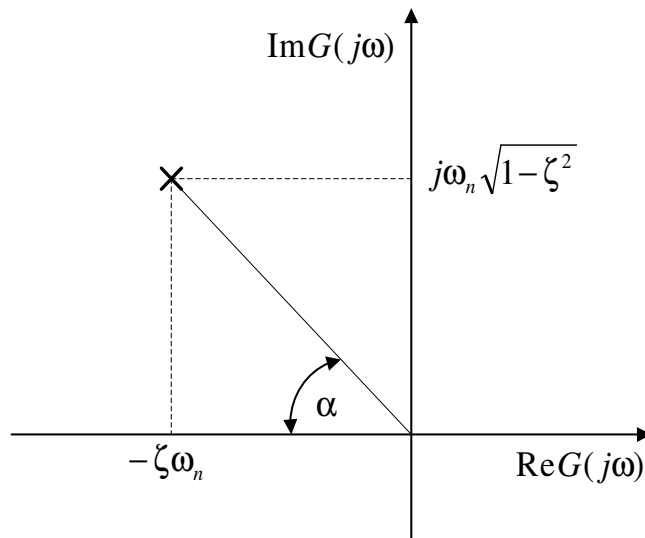


Rys. 1.13. Związek między wskaźnikiem oscylacyjności a przeregulowaniem.

Bieguny $s_{1,2}$ transmitancji operatorowej (1.4) dane są wzorem

$$s_{1,2} = -\omega_n \zeta \pm j\omega_n \sqrt{1-\zeta^2} \quad (1.52)$$

zaś ich rozmieszczenie na płaszczyźnie zespolonej pokazano na rys. 1.14.



Rys. 1.14. Położenie biegunów transmitancji członu oscylacyjnego

Z rysunku tego wynika, iż

$$\operatorname{tg}\alpha = \frac{\sqrt{1-\zeta^2}}{\zeta} \quad (1.53)$$

a zatem

$$\alpha = \operatorname{arc\,tg}\left(\frac{\sqrt{1-\zeta^2}}{\zeta}\right) = \operatorname{arc\,cos}\zeta \quad (1.54)$$

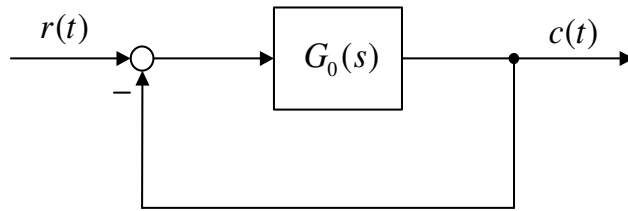
Założmy, iż (1.4) oznacza operatorową transmitancję zamkniętego układu sterowania o strukturalnym schemacie danym na rys. 1.15, gdzie

$$G_0(s) = \frac{k}{s(1+Ts)} \quad (1.55)$$

jest transmitancją operatorową układu otwartego, zaś

$$k = \frac{1}{2\zeta\tau} \quad (1.56)$$

$$T = \frac{\tau}{2\zeta} \quad (1.57)$$



Rys. 1.15. Schemat strukturalny układu sterowania

Pulsacja odcięcia ω_{gc} amplitudowej charakterystyki transmitancji rozważanego układu otwartego zdefiniowana jest wzorem

$$|G_0(s)|_{s=j\omega_{gc}} = 1 \quad (1.58)$$

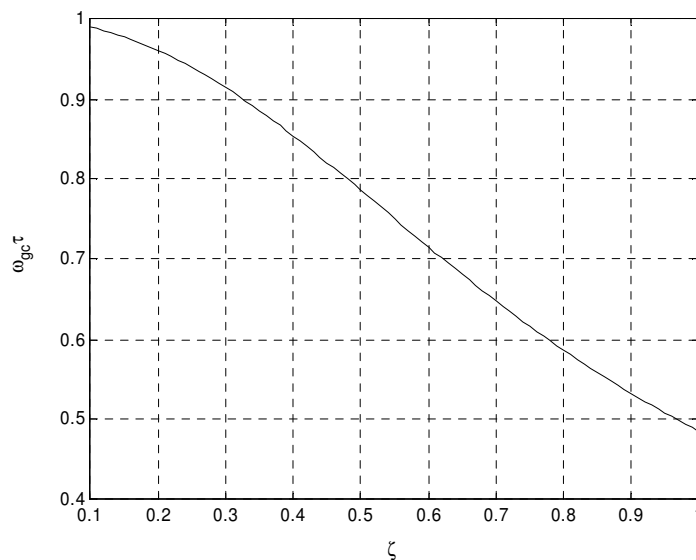
zaś jej związek z parametrami transmitancji (1.4) opisuje formuła

$$\omega_{gc} = \frac{\sqrt{\sqrt{4\zeta^4 + 1} - 2\zeta^2}}{\tau} \quad (1.59)$$

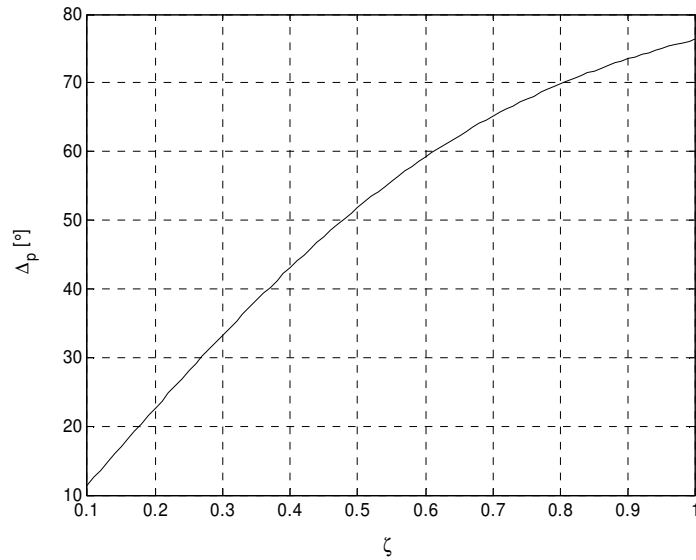
Zapas fazy rozważanego układu sterowania wyraża się wzorem

$$\Delta_p = \pi + \arg G_0(s)|_{s=j\omega_{gc}} = \arctg \left(\frac{2\zeta}{\sqrt{\sqrt{4\zeta^4 + 1} - 2\zeta^2}} \right) \quad (1.60)$$

Przebieg funkcji $\omega_{gc}(\zeta)$ przedstawiono na rys. 1.16, zaś funkcję $\Delta_p(\zeta)$ ilustruje rys. 1.17.



Rys. 1.16. Pulsacja odcięcia ω_{gc} w funkcji współczynnika tłumienia.



Rys. 1.17. Zapas fazy Δ_p w funkcji współczynnika tłumienia.

Niech

$$\omega_{-\pi/2} = \omega \Big|_{\arg G(j\omega) = -\pi/2} \quad (1.61)$$

$$M_{-\pi/2} = |G(j\omega)|_{\arg G(j\omega) = -\pi/2} \quad (1.62)$$

$$\bar{\omega}_{gc} = \omega \Big|_{|G(j\omega)|=1, \omega>0}, \quad \zeta < 1/\sqrt{2} \quad (1.63)$$

$$\bar{\vartheta}_{gc} = \arg G(j\bar{\omega}_{gc}), \quad 0 < \zeta < 1/\sqrt{2} \quad (1.64)$$

$$\gamma = \frac{\omega_{3dB}}{\omega_{gc}} \quad (1.65)$$

Jak łatwo sprawdzić zachodzą następujące relacje:

$$\zeta = \frac{\operatorname{tg} \Delta_p \sqrt{\cos \Delta_p}}{2} \quad (1.66)$$

$$\omega_{gc} = \frac{\omega_{3dB} \sqrt{\cos \Delta_p}}{\sqrt{1 - 2\zeta^2} + \sqrt{(1 - 2\zeta^2)^2 + 1}} \quad (1.67)$$

$$\omega_{gc} = \frac{\sqrt{(\cos \Delta_p)}}{\tau} = \frac{2\zeta}{\tau \cdot \operatorname{tg} \Delta_p} \quad (1.68)$$

$$\omega_{gc} = \omega_r \sqrt{\frac{\sqrt{4\zeta^4 + 1} - 2\zeta^2}{1 - 2\zeta^2}} \quad (1.69)$$

$$\omega_{gc} \approx \frac{6}{T_{s5\%} \operatorname{tg} \Delta_p} \quad (1.70)$$

$$\omega_{gc} \approx \frac{8}{T_{s2\%} \operatorname{tg} \Delta_p} \quad (1.71)$$

$$\omega_{-\pi/2} = \frac{1}{\tau} \quad (1.72)$$

$$M_{-\pi/2} = \frac{1}{2\zeta} \quad (1.73)$$

$$\bar{\omega}_{gc} = \frac{\sqrt{2(1-2\zeta^2)}}{\tau}, \quad 0 < \zeta < 1/\sqrt{2} \quad (1.74)$$

$$\gamma = \sqrt{1-2\zeta^2} + \sqrt{(1-2\zeta^2)^2 + 1} \quad (1.75)$$

Na podstawie powyższych rozważań opracowano tabelę formuł, przydatnych przy identyfikacji modeli drugiego rzędu (Tabela 1.1).

Dane wejściowe	Parametry modelu drugiego rzędu	Ograniczenia
M_r, ω_r	$\zeta = \sqrt{\frac{M_r - \sqrt{M_r^2 - 1}}{2M_r}}, \quad \tau = \frac{\sqrt{1-2\zeta^2}}{\omega_r}$	$0 < \zeta < \frac{1}{\sqrt{2}}$
$M_{-\pi/2}, \omega_{-\pi/2}$	$\zeta = \frac{1}{2M(\omega_{-\pi/2})}, \quad \tau = \frac{1}{\omega_{-\pi/2}}$	
$\bar{\omega}_{gc}, \omega_{-\pi/2}$	$\zeta = \frac{\bar{\omega}_{gc} \sqrt{2}}{2\omega_{-\pi/2}}, \quad \tau = \frac{1}{\omega_{-\pi/2}}$	$0 < \zeta < \frac{1}{\sqrt{2}}$
$\omega_{3dB}, \omega_{-\pi/2}$	$\zeta = \frac{\sqrt{2\gamma^2 - \gamma^4 + 1}}{2\gamma}, \quad \tau = \frac{1}{\omega_{-\pi/2}}$	
$\bar{\vartheta}_{gc}, \bar{\omega}_{gc}$	$\zeta = \begin{cases} \frac{\sqrt{1 - \frac{1}{\sqrt{1 + \tan^2 \bar{\vartheta}_{gc}}}}}{2} & \bar{\vartheta}_{gc} \leq -\frac{\pi}{2}, \\ \frac{\sqrt{1 + \frac{1}{\sqrt{1 + \tan^2 \bar{\vartheta}_{gc}}}}}{2} & \bar{\vartheta}_{gc} > -\frac{\pi}{2}, \end{cases}, \quad \tau = \frac{\sqrt{2(1-2\zeta^2)}}{\bar{\omega}_{gc}}$	$0 < \zeta < \frac{1}{\sqrt{2}}$
κ, T_κ	$\zeta = \frac{ \ln \kappa }{\sqrt{\pi^2 + \ln^2 \kappa}}, \quad \tau = -\frac{\zeta T_\kappa}{\ln \kappa}$	$\kappa > 0$

Tabela 1.1. Formuły służące identyfikacji modelu drugiego rzędu

Należy podkreślić, iż metody identyfikacji oparte o pary danych pomiarowych ($M_{-\pi/2}, \omega_{-\pi/2}$) oraz ($\omega_{3dB}, \omega_{-\pi/2}$) pozwalają na identyfikację członu dynamicznego drugiego rzędu w przypadku, gdy $\zeta \geq 1/\sqrt{2}$, w tym także członu dwuinercyjnego $\zeta \geq 1$.

1.2.5 Charakterystyki czasowe i częstotliwościowe członu nieminimalnofazowego

Odpowiedź impulsową układu nieminimalnofazowego (1.5) opisuje wzór

$$g(t) = L^{-1}[G(s)] = \frac{1}{T_y} \left(1 + \frac{T_x}{T_y} \right) e^{-t/T_y} \cdot \mathbf{1}(t) \quad (1.76)$$

Odpowiedź skokowa tego członu dana jest wzorem

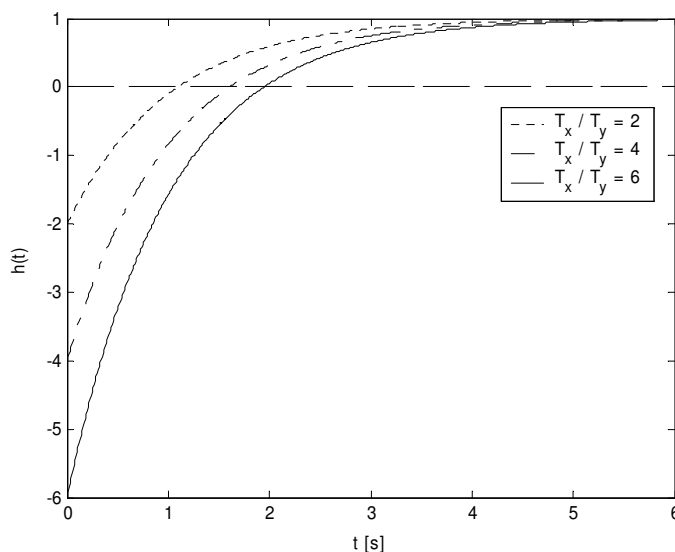
$$h(t) = L^{-1} \left[\frac{G(s)}{s} \right] = 1 - \left(1 + \frac{T_x}{T_y} \right) e^{-t/T_y} \cdot \mathbf{1}(t) \quad (1.77)$$

zatem dla $T_x > 0$

$$h(0) = \frac{-T_x}{T_y} < 0 \quad (1.78)$$

$$h(\infty) = 1 \quad (1.79)$$

Przykładowe znormalizowane przebiegi odpowiedzi skokowej dla różnych wartości T_x/T_y pokazano na rys.1.18.



Rys. 1.18. Odpowiedź skokowa członu dynamicznego z nieminimalnofazowym zerem.

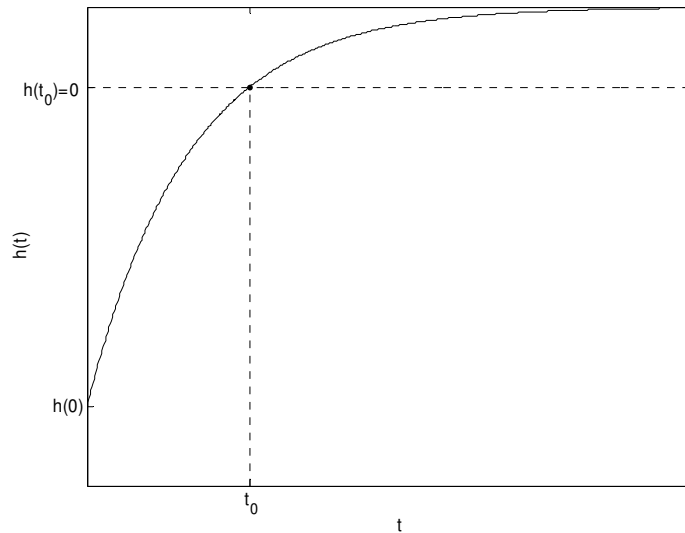
Na podstawie odpowiedzi skokowej można dokonać identyfikacji stałych czasowych T_x oraz T_y . Wprowadza się dodatkową zmienną pomocniczą

$$x = -h(0) = \frac{T_x}{T_y} \quad (1.80)$$

Z kolei na podstawie wzoru (1.77), znając t_0 (Rys. 1.19) jaki upłynął od momentu, gdy odpowiedź $h(t_0) = 0$ można wyznaczyć

$$T_y = \frac{t_0}{\ln(1+x)} \quad (1.81)$$

Stałą czasową T_x wyznacza się na podstawie wzoru (1.80)



Rys. 1.19. Wyznaczenie chwili czasu t_0 .

Widmowa charakterystyka członu dynamicznego z nieminimalnofazowym zerem (1.5) dana jest wzorem

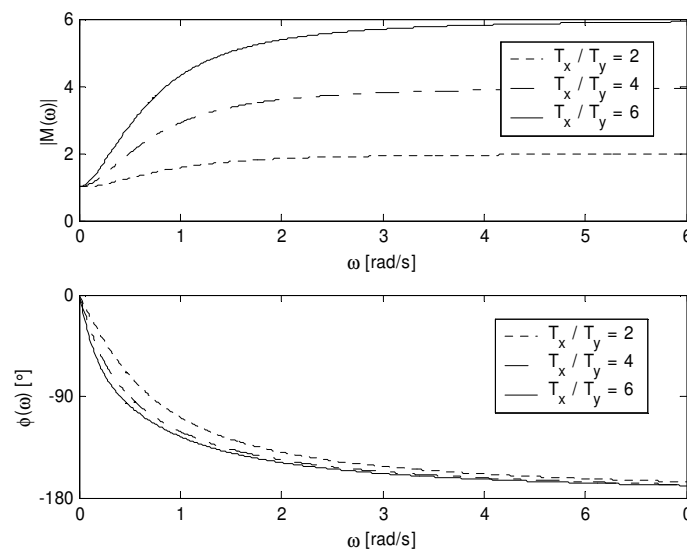
$$G(s)|_{s=j\omega} = M(\omega)e^{j\phi(\omega)} = \sqrt{\frac{1 - \omega^2 T_x^2}{1 + \omega^2 T_y^2}} e^{-j(\arctan \omega T_x + \arctan \omega T_y)} \quad (1.82)$$

zatem

$$M(0) = 1 \quad (1.83)$$

$$M(\infty) = \frac{T_x}{T_y} \quad (1.84)$$

Przykładowe przebiegi charakterystyki amplitudowej $M(\omega)$ oraz fazowej $\phi(\omega)$ tego członu dla różnych wartości T_x/T_y pokazano na Rys. 1.20.



Rys. 1.20. Charakterystyki częstotliwościowe członu z nieminimalnofazowym zerem.

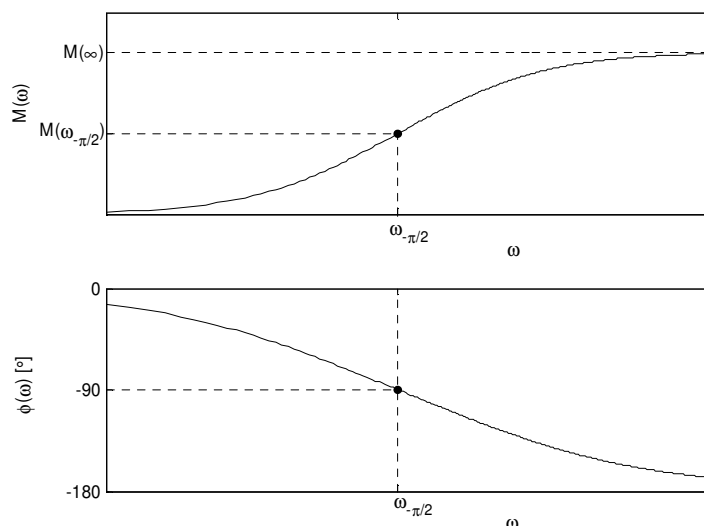
Aby dokonać identyfikacji stałych czasowych T_x oraz T_y w oparciu o charakterystyki widmowe, w pierwszej kolejności należy wyznaczyć pulsację $\omega_{-\pi/2}$, dla której $\phi(\omega_{-\pi/2}) = -\frac{\pi}{2}$ (Rys. 1.21). Wykorzystując wzór (1.82) można pokazać, że dla pulsacji $\omega_{-\pi/2}$ charakterystyka amplitudowa ma następującą wartość

$$M(\omega_{-\pi/2}) = \sqrt{\frac{T_x}{T_y}} = \sqrt{M(\infty)} \quad (1.85)$$

Z powyższego faktu wynika, że pulsację $\omega_{-\pi/2}$ można wyznaczyć także w oparciu o charakterystykę $M(\omega)$. Dodatkowo ze wzoru (4.8) oraz (4.11) można wyprowadzić zależność

$$T_x = \frac{\sqrt{M(\infty)}}{\omega_{-\pi/2}} \quad (1.86)$$

Stałą czasową T_y wyznacza się w oparciu o wzór (4.10).



Rys. 1.21. Wyznaczenie pulsacji $\omega_{-\pi/2}$.

1.3 Opis stanowiska laboratoryjnego

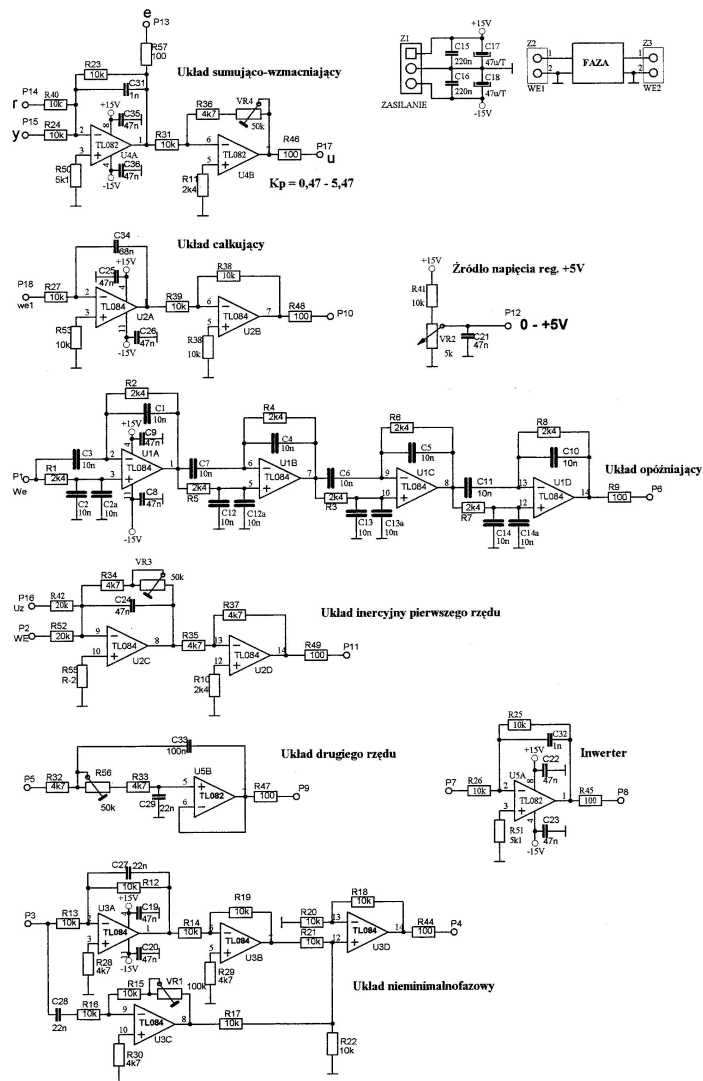
Stanowisko laboratoryjne tworzą:

1. Zestaw Analogowych Modeli Procesów Przemysłowych (ZAMPP)

Zawiera on w sobie obiekty dynamiczne opisane transmitancjami (1.1)-(1.5) oraz miernik przesunięcia fazowego sygnału wyjściowego względem sygnału wejściowego. Widok płyty czołowej układu ZAMPP przedstawiono na rys.1.22. Z kolei Rys. 1.23 prezentuje schematy ideowe identyfikowanych układów.



Rys. 1.22. Widok zestawu laboratoryjnego.



Zal. 1. Schematy ideowe zbudowanych układów

Rys. 1.23. Schematy ideowe badanych układów.

2. Wielofunkcyjny Zestaw Pomiarowy typu MS-9140

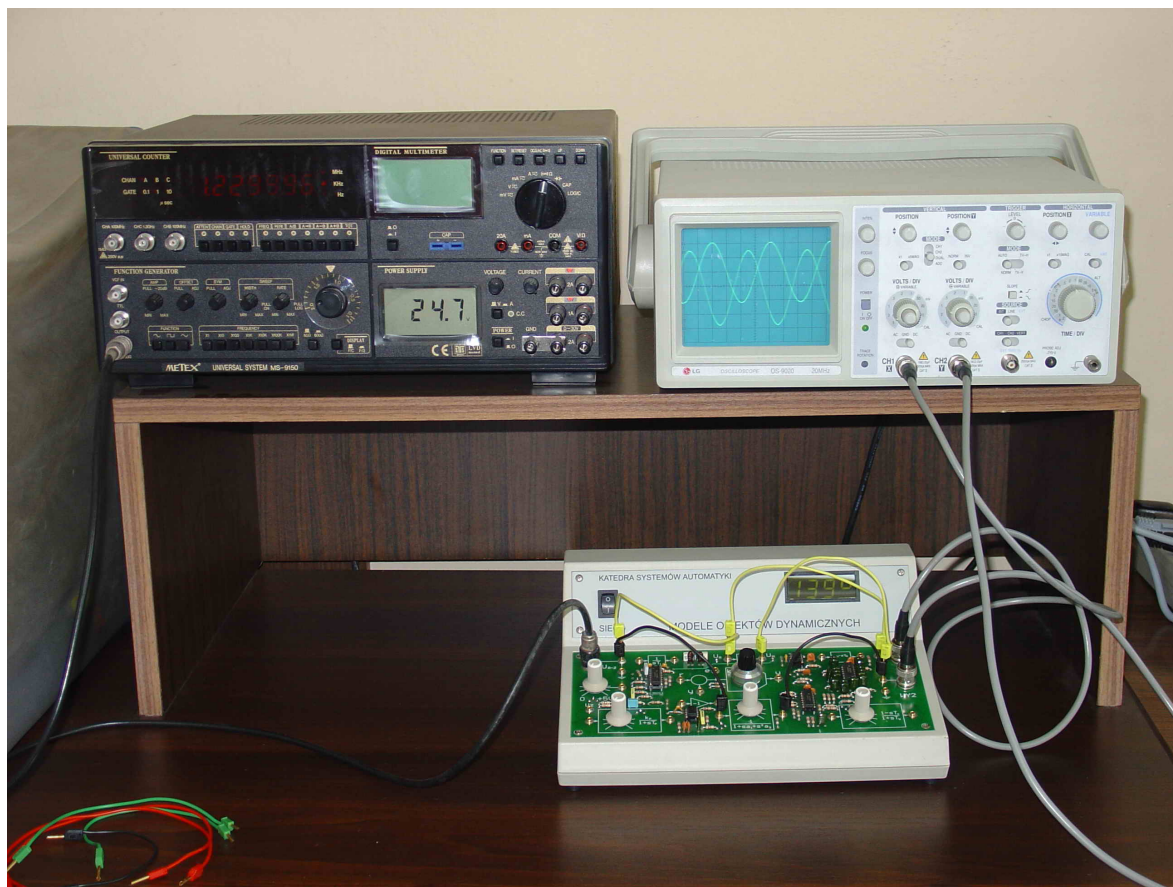
Przyrząd ten zawiera między innymi:

- generator funkcji, stanowiący źródło wejściowych sygnałów periodycznych podawanych na wejście modelu układu,
- częstotściomierz, umożliwiający odczyt częstotliwości sygnałów wejściowych.

3. Oscyloskop dwukanałowy.

Umożliwia wizualizację sygnałów wejściowego i wyjściowego oraz pomiar ich amplitud i parametrów czasowych.

Na Rys. 1.24. przedstawiono widok stanowiska pomiarowego.



Rys. 1.24. Widok stanowiska pomiarowego.

1.4 Zadania pomiarowe

- a) należy pomierzyć charakterystykę amplitudową oraz fazową badanych obiektów;
- b) w oparciu o charakterystyki czasowe należy oszacować wskaźniki odpowiedzi skokowej badanych obiektów

Uwagi:

- **postać sygnałów wejściowych, to znaczy ich amplitudy oraz pulsacje, należy dobierać w ten sposób, aby spełnione były warunki umożliwiające racjonalną identyfikację badanego układu, co sprowadza się przede wszystkim do postulatu stosowania pobudzeń, przy których układ laboratoryjny pracuje w zakresie liniowym;**

- przy pomiarze charakterystyk amplitudowo-fazowych zanotować charakterystyczne punkty odpowiednio dla każdego układu (np. dla układu inercyjnego pierwszego rzędu – pulsację trzydecybelową, przesunięcie fazowe dla pulsacji trzydecybelowej oraz wzmocnienie w stanie ustalonym);
- pomiary przeprowadzać w zakresie dolnych częstotliwości;
- przy pomiarze charakterystyk czasowych należy oszacować wskaźniki odpowiedzi skokowej (nie mierzyć czasu ustalania T_s !!!).
- odpowiednie formuły służące identyfikacji parametrów poszczególnych układów można znaleźć w poprzednich punktach owego rozdziału. Przykładowo dla układu inercyjnego pierwszego rzędu z członem opóźniającym można posłużyć się formułami (1.5)-(1.7).

1.5 Opracowanie wyników

W sprawozdaniu z ćwiczenia należy:

- zamieścić wykresy charakterystyk Bodego oraz Nyquista badanych obiektów;
- przedstawić zidentyfikowane modele tych układów;
- przeprowadzić dyskusję wyników (porównanie różnych metod identyfikacji);
- wyznaczyć modele optymalne w sensie odpowiednich nieliniowych zadań najmniejszych kwadratów. W tym celu stosuje się MATLABową funkcję **fmins**, która rozwiązuje odpowiednie zadanie optymalizacji.

1.6 Oprogramowanie wspomagające przetwarzanie danych pomiarowych

MATLABowa funkcja **fmins** pozwala na optymalizację parametrów modeli (1.1)-(1.5) na podstawie zbioru dostępnych danych pomiarowych $\{U_{out}(\omega_j), \Phi_m(\omega_j)\}_{j=1}^n$ oraz U_{in} , gdzie $U_{out}(\omega_j)$ jest amplitudą wyjściowego sygnału harmonicznego, $\Phi_m(\omega_j)$ jest przesunięciem fazy tego sygnału w stosunku do fazy wejściowego sygnału harmonicznego o amplitudzie U_{in} i pulsacji ω_j , $j=1, \dots, n$. Rozwiązywane zadanie optymalizacji ma postać następującego problemu z kwadratową funkcją kosztów

$$(T_i^*, T_0^*) = \underset{(T_i, T_0)}{\operatorname{argmin}} \left\{ \sum_{j=1}^n \left[[\operatorname{Re} H(\omega_j, k, T_0, T_i) - U_{out}(\omega_j)/U_{in} \cdot \cos \Phi_m(\omega_j)]^2 + [\operatorname{Im} H(\omega_j, k, T_0, T_i) - U_{out}(\omega_j)/U_{in} \cdot \sin \Phi_m(\omega_j)]^2 \right] \right\}^{1/2} \quad (1.87)$$

Funkcję **fmins** można wywołać z wiersza poleceń MATLABa w następujący sposób:

```
>> x = fmins('FunOpt',x0)
```

gdzie FunOpt oznacza nazwę funkcji kryterialnej według której poszukiwany jest optymalny wektor parametrów **x**, zaś **x0** jest punktem startowym procedury optymalizacyjnej.

Do optymalizacji parametrów identyfikowanych modeli należy użyć następujących funkcji kryterialnych dla modelu:

- **funm1** – dla modelu inercyjnego pierwszego rzędu oraz dla układu całkującego w pętli sprzężenia jednostkowego opisanych odpowiednio transmitancjami (1.1) i (1.3);
- **funm1t** – dla modelu pierwszego rzędu z opóźnieniem transportowym opisanego transmitancją (1.2)

- **funm2** – dla modelu pierwszego rzędu z opóźnieniem transportowym opisanego transmitancją (1.4)
- **funmnf** – dla modelu nieminimalnofazowego opisanego transmitancją (1.4)

Ponadto należy zdefiniować w MATLABie dane pomiarowe w postaci macierzy o następującej strukturze:

DATA_M=[freq Uout Phase]

gdzie **freq** oznacza kolumnę częstotliwości - [Hz], **Uout** jest kolumną zawierającą amplitudę sygnału wyjściowego - [V] (przy założeniu, że amplituda napięcia wejściowego wynosi 1V) oraz **Phase** reprezentuje kolumnę przesunięcia fazowego - [°]. Następnie należy zdefiniować zmienną **DATA_M** jako zmienną globalną poprzez polecenie:

>> global DATA_M

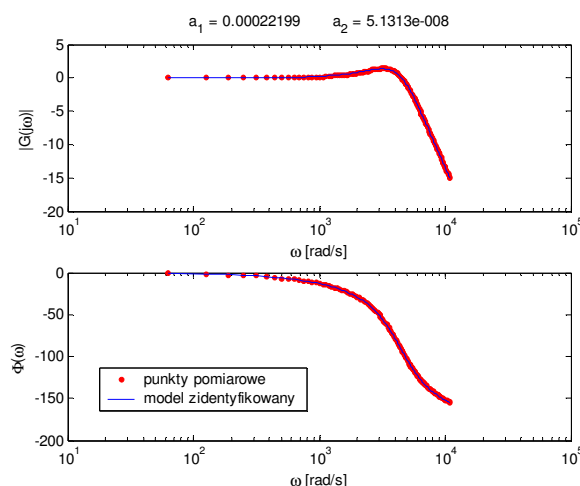
Dla celów graficznej wizualizacji stopienia dopasowania zidentyfikowanych modeli stworzono dodatkowe m-pliki:

- **gvidm1** – dla modelu inercyjnego pierwszego rzędu oraz dla układu całkującego w pętli sprzężenia jednostkowego opisanych odpowiednio transmitancjami (1.1) i (1.3);
- **gvidm1t** – dla modelu pierwszego rzędu z opóźnieniem transportowym opisanego transmitancją (1.2)
- **gvidm2** – dla modelu pierwszego rzędu z opóźnieniem transportowym opisanego transmitancją (1.4)
- **gvidmnf** – dla modelu nieminimalnofazowego opisanego transmitancją (1.4)

Powyzsze funkcje można wywołać z wiersza poleceń MATLABa w następujący sposób:

```
>> gvidm1(x)
>> gvidm1t(x)
>> gvidm2(x)
>> gvidmnf(x)
```

gdzie **x** oznacza znaleziony optymalny wektor parametrów. Przykładowa charakterystyka Bodego, uzyskana za pomocą omawianych MATLABowych funkcji, przedstawiono na rys. 1.25.



Rys. 1.24. Przykładowa charakterystyka częstotliwościowa modelu drugiego rzędu.